

# Math-Net.Ru

Общероссийский математический портал

В. Г. Грудницкий, Ю. А. Прохорчук, Один прием построения разностных схем с произвольным порядком аппроксимаций дифференциальных уравнений в частных производных, *Докл. АН СССР*, 1977, том 234, номер 6, 1249–1252

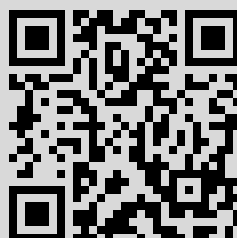
Использование Общероссийского математического портала Math-Net.Ru подразумевает, что вы прочитали и согласны с пользовательским соглашением

<http://www.mathnet.ru/rus/agreement>

Параметры загрузки:

IP: 185.165.160.186

23 марта 2020 г., 21:09:53



В. Г. ГРУДНИЦКИЙ, Ю. А. ПРОХОРЧУК

# ОДИН ПРИЕМ ПОСТРОЕНИЯ РАЗНОСТНЫХ СХЕМ С ПРОИЗВОЛЬНЫМ ПОРЯДКОМ АППРОКСИМАЦИИ ДИФФЕРЕНЦИАЛЬНЫХ УРАВНЕНИЙ В ЧАСТНЫХ ПРОИЗВОДНЫХ

(Представлено академиком А. А. Дородницыным 28 II 1977)

Предлагается способ построения разностных схем с произвольным порядком аппроксимации краевых задач для дифференциальных уравнений в частных производных, обладающий следующими свойствами: шаблоны схем при повышении порядка аппроксимации не изменяются, такие свойства схем, как консервативность, монотонность, автоматически сохраняются, если они имеются в схеме первого или второго порядка точности, положенной в основу алгоритма. Повышение порядка точности проводится достаточно формальным образом и может быть автоматизировано. Способ построения основан на использовании дифференциальных следствий исходных уравнений.

Рассмотрим алгоритм на примере одного уравнения дивергентного вида

$$u_t = F_x(u), \quad 0 \leq x \leq 1, \quad t \geq 0 \quad (1)$$

с граничными условиями

$$u(0, x) = f(x), \quad 0 \leq x \leq 1; \quad u(t, 0) = \varphi(t), \quad t \geq 0. \quad (2)$$

Чтобы не загромождать выкладки, считаем, что  $F$  не зависит явно от  $t$  и  $x$ . Дифференцируя уравнение (1)  $n$  раз по  $x$ , получим систему уравнений

$$u_{tx}^{(1)(k)} = F_x^{(k+1)}, \quad k=0, 1, \dots, n; \quad (3)$$

здесь  $u_{tx}^{(j)(k)} = \partial^{j+k} u / \partial t^j \partial x^k$ . Воспользуемся также следствием уравнения (1)

$$u_{tx}^{(j)(k)} = F_{tx}^{(j-1)(k+1)}, \quad j=0, 1, \dots, n-k. \quad (4)$$

Заметим, что

$$F_x^{(k)} = \sum_{m=0}^{k-1} (\partial F_x^{(k-1)} / \partial u_x^{(m)}) u_x^{(m+1)} = F_x^{(k)}(u, u_x^{(1)}, \dots, u_x^{(k)}).$$

Аналогично, учитывая (4), получим

$$F_{tx}^{(j)(k)} = F_{tx}^{(j)(k)}(u, u_x^{(1)}, \dots, u_x^{(j+k)}), \quad (5)$$

причем  $F_{tx}^{(j)(k)}$  линейна относительно  $u_x^{(j+k)}$  при  $j+k \geq 1$ . С учетом полученных соотношений для системы (3) можно поставить следующие граничные условия:

$$u_x^{(k)}(0, x) = f_x^{(k)}(x), \quad 0 \leq x \leq 1, \quad k=0, 1, \dots, n; \quad (6)$$

$$u(t, 0) = \varphi(t); \quad F_{tx}^{(k-1)(1)}(t, 0) = \varphi_t^{(k)}(t), \quad t \geq 0, \quad k=1, \dots, n.$$

Граничные условия в угловой точке предполагаются согласованными с соответствующим порядком. Последнее из соотношений (6) позволяет

определить  $u_x^{(k)}(t, 0)$  в явном виде, так как  $u_x^{(k)}$  линейным образом входит в  $F_{tx}^{(k-1)(1)}$ . Вообще говоря, коэффициент при  $u_x^{(k)}$  может оказаться нулем (если граничные условия задаются на характеристике). В этом случае вместо соотношений (6) необходимо использовать характеристические соотношения, позволяющие определить  $u_x^{(k)}(t, 0)$ .

Для последнего уравнения системы (3) запишем на шаблоне «угол» разностную схему первого порядка точности

$$[u_x^{(n)}(p+1, m) - u_x^{(n)}(p, m)]/\tau = [F_x^{(n)}(p, m) - F_x^{(n)}(p, m-1)]/h, \quad (7)$$

$$p=0, 1, \dots, T/\tau; \quad m=1, \dots, 1/h,$$

где  $\tau$  — шаг разностной сетки по  $t$ ,  $h$  — шаг по  $x$ .

Для уравнения порядка  $n-1$  системы (3) запишем на том же шаблоне разностный аналог со вторым (как нетрудно убедиться) порядком точности относительно  $h$ ,  $\tau$ :

$$[u_x^{(n-1)}(p+1, m) - u_x^{(n-1)}(p, m)]/\tau -$$

$$-0,5\tau[F_{tx}^{(1)(n-1)}(p, m) - F_{tx}^{(1)(n-1)}(p, m-1)]/h =$$

$$=[F_x^{(n-1)}(p, m) - F_x^{(n-1)}(p, m-1)]/h + 0,5h[u_x^{(n)}(p+1, m) - u_x^{(n)}(p, m)]/\tau. \quad (8)$$

Этот процесс можно продолжить, уничтожая на каждом шаге погрешность разностной аппроксимации с помощью производных более высокого порядка. Укажем удобный способ, называемый обычно интегроинтерполяционным <sup>(1)</sup>, который позволяет записать схему в общем виде. Уравнения (3) интегрируются по ячейке сетки (это дает возможность искать слабое решение системы (3))

$$\int_0^\tau \int_0^{-h} (u_{tx}^{(1)(k)} - F_x^{(k+1)}) dx dt =$$

$$= \int_0^{-h} [u_x^{(k)}(\tau, x) - u_x^{(k)}(0, x)] dx + \int_0^\tau [F_x^{(k)}(t, -h) - F_x^{(k)}(t, 0)] dt = 0, \quad (9)$$

после чего подынтегральные выражения аппроксимируются разложениями по Тейлору в окрестностях узлов сетки

$$u_x^{(k)}(0, x) = \sum_{i=k}^n u_x^{(i)}(p, m) x^{i-k}/(i-k)!,$$

$$u_x^{(k)}(\tau, x) = \sum_{i=k}^n u_x^{(i)}(p+1, m) x^{i-k}/(i-k)!,$$

$$F_x^{(k)}(t, 0) = \sum_{i=k}^n F_{tx}^{(i-k)(k)}(p, m-1) t^{i-k}/(i-k)!,$$

$$F_x^{(k)}(t, 0) = \sum_{i=k}^n F_{tx}^{(i-k)(k)}(p, m) t^{i-k}/(i-k)!,$$

$$k=0, 1, \dots, n.$$

Подставляя полученные разложения в уравнение (9), получим разностную аппроксимацию уравнений (3) с порядком точности  $(n+1-k)$  относительно  $\tau$ ,  $h$

$$\sum_{i=k} \{ (-h)^{i-k+1} [u_x^{(i)}(p+1, m) - u_x^{(i)}(p, m)] + \tau^{i-k+1} [F_{tx}^{(i-k)(h)}(p, m) - F_{tx}^{(i-k)(h)}(p, m-1)] \} / (i-k+1)! = 0, \quad (10)$$

$$k = n, n-1, \dots, 1, 0.$$

В качестве граничных условий воспользуемся соотношениями (6) в граничных узлах сетки.

Для иллюстрации приведем пример численного решения уравнения переноса  $u_t + u_x = 0$  с граничными условиями  $\varphi(t) = \sin(-t)$ ,  $f(x) = \sin x$ . Максимальный модуль разности  $\varepsilon(z)$  между численным и точным решением  $u = \sin(x-t)$  изменялся в зависимости от порядка точности схемы  $z$  следующим образом: для решения на сетке  $h=0,5$ ,  $\tau=0,25$  в области  $0 \leq t$ ,  $x \leq 2$  было  $\varepsilon(1) < 0,2$ ;  $\varepsilon(2) < 0,11 \cdot 10^{-1}$ ;  $\varepsilon(3) < 0,2 \cdot 10^{-2}$ ; ...;  $\varepsilon(10) < 0,1 \cdot 10^{-8}$ ,  $\varepsilon(11) < 0,6 \cdot 10^{-10}$ ; для  $h=2$ ,  $\tau=1$  ( $0 \leq t$ ,  $x \leq 2$ ) было  $\varepsilon(1) < 0,2$ ,  $\varepsilon(2) < 0,55 \cdot 10^{-1}$ ; ...;  $\varepsilon(20) < 0,5 \cdot 10^{-9}$ . Заметим, что в схемах высокого порядка точности величины остаточных членов определяются в основном коэффициентом  $1/(n+1)!$ , а не  $h^n$ .

При численном решении краевых задач, имеющих разрывы в граничных условиях или их производных порядка меньшего, чем порядок точности аппроксимирующей системы, при задании граничных условий необходимо следить за выполнением соотношений типа

$$u_x^{(k)} = u_x^{(k)}(x_1) - \int_{x_1}^x u_x^{(k+1)}(\xi) d\xi, \quad k=0, 1, \dots, n-1. \quad (11)$$

Это приводит к необходимости «размазывать» разрывы на несколько узлов сетки в зависимости от порядка точности схемы и порядка производной, терпящей разрыв. При этом численное решение приближается к точному на достаточно гладких участках решения с ожидаемым порядком точности. В окрестности разрыва решения схема дает нулевой порядок точности, в окрестности разрыва первой производной — первый порядок и т. д. Отметим, что алгоритм, при соответствующем подборе «элементарной» схемы, всегда можно построить таким образом, что на участках монотонности решения и его производных будет получено монотонное вместе со своими «производными» численное решение.

С использованием «элементарной» схемы, аналогичной схеме Лакса, произведен расчет нормального отражения прямой ударной волны от плоской стенки в идеальном газе. Исходные дифференциальные уравнения  $w_t + F_x = 0$ ,  $t \geq 0$ ,  $0 \leq x \leq 5$  (где  $w$ ,  $F$  — векторные функции,  $w = \{\rho, \rho u, E\}$ ,  $F = \{\rho u, p + \rho u^2, u(E + p)\}$ ,  $\rho$  — плотность,  $u$  — скорость,  $p$  — давление,  $E = p/(\gamma - 1) + 0,5 \rho u^2$  — полная энергия газа) численно решали по схемам первого, второго и третьего порядков точности. Начальные условия  $w(0, x) = w_0$ ,  $x > 1,65$ ;  $w(0, x) = w_1$ ,  $0 \leq x \leq 1,65$  задавали, исходя из соотношений Рэнкина — Гюгонно для ударной волны с  $M=1,2$  ( $w_0$  — параметры невозмущенного газа,  $w_1$  — параметры газа во фронте ударной волны). В качестве граничных использовали соотношения  $w(t, 0) = w_1$ , условия непротекания на стенке ( $x=5$ ), а также их дифференциальные следствия. Расчет проводился сквозным способом, результаты приведены на рис. 1, 2 ( $h=0,1$ ;  $\tau=0,02$ ).

В качестве примера расчета параболического уравнения приведем результаты численного решения уравнения теплопроводности  $u_t = u_{xx}$  с граничными условиями  $u(x, 0) = \sin x$ ,  $u(0, t) = u(\pi, t) = 0$ ,  $0 \leq x \leq \pi$ ,  $t \geq 0$ .

В качестве «элементарной» использовалась схема  $(u_m^{p+1} - u_m^p) / \tau = (u_{m+1}^p - 2u_m^p + u_{m-1}^p) / h^2$ . Максимальный модуль разности  $\varepsilon(z)$  между численным ( $h=\pi/4$ ,  $\tau=h^2/2$ ) и точным решением  $u = \sin x \cdot \exp(-t)$  изменялся

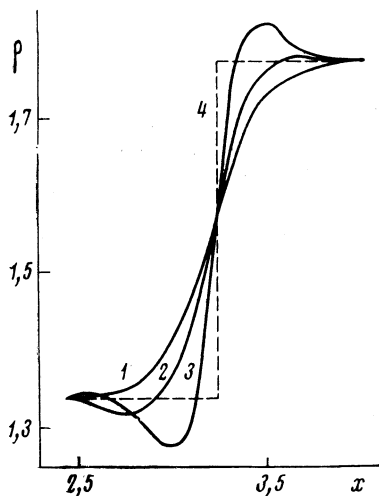


Рис. 1

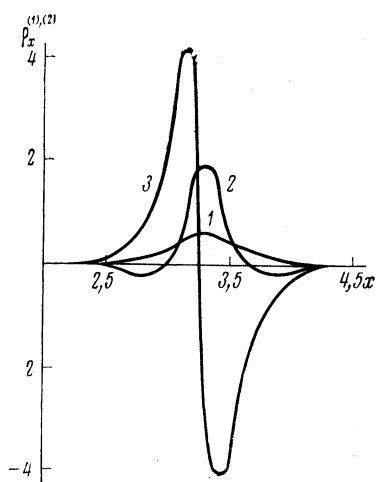


Рис. 2

Рис. 1. Плотность  $\rho$  в зависимости от  $x$ : 1, 2, 3 – расчет соответственно по схемам I, II и III порядков точности после момента отражения, 4 – точное решение

Рис. 2. Производная  $\rho_x^{(1)}$  в схеме II порядка (1), III порядка (2) и производная  $\rho_x^{(2)}$  в схеме III порядка (3) после отражения

при  $t=1,0$  с ростом порядка аппроксимации следующим образом:  $\varepsilon(2) = 0,5 \cdot 10^{-1}$ ;  $\varepsilon(4) = 0,3 \cdot 10^{-2}$ ;  $\varepsilon(6) = 0,4 \cdot 10^{-4}$ .

Итак, в работе описан метод получения разностных схем с произвольным порядком аппроксимации исходных дифференциальных уравнений в частных производных. Метод не имеет принципиальных ограничений на тип и размерность аппроксимируемых уравнений. Получаемые схемы однородны и не требуют значительной перестройки вблизи границ расчетной области для схем всех порядков аппроксимации. Следует отметить, что свойства консервативности схем, построенных с помощью предлагаемого способа, более полны, чем аналогичные свойства многоточечных схем того же порядка (для схем порядка выше первого). Действительно, в схемах предлагаемого типа консервативно считаются не только основные уравнения, но и уравнения для производных. В случае уравнений, описывающих движение сплошной среды, это означает, что для малых конечных объемов среды, заполняющих ячейки разностной сетки, консервативно рассчитываются не только характеристики основного поступательного движения, но и характеристики относительных движений более высокого порядка малости, связанных с деформацией и вращением элементарных объемов среды, заполняющих ячейки сетки. Эти движения описываются продифференцированными основными уравнениями в проинтегрированном по ячейке виде.

Граничные условия для продифференцированных уравнений находятся достаточно формальным способом из граничных условий для исходного уравнения, самого исходного уравнения и его дифференциальных следствий на границе. Возникновение разрывов в граничных условиях и решениях для производных из-за недостаточной гладкости исходных граничных условий, их несогласованности и т. п. является объективным фактором, характеризующим свойства решения и не препятствующим, как указано выше, проведению расчетов.

Авторы выражают благодарность С. П. Рыбаку за помощь в проведении расчетов по модельным задачам.

Вычислительный центр  
Академии наук СССР  
Москва

Поступило  
25 II 1977

#### ЛИТЕРАТУРА

<sup>1</sup> А. Н. Тихонов, А. А. Самарский, Журн. вычислит. матем. и матем. физики, т. 1, № 1 (1969).